

# 哺乳动物 mRNA 在兔网织红细胞溶解 物体外翻译体系中的翻译作用

吴冠芸 王申五 齐上乐

(中国医学科学院基础医学研究所)

体外蛋白合成体系对测定 mRNA 的生物活性及研究蛋白合成的调控机制有重要意义。

目前研究真核细胞 mRNA 体外翻译体系应用最多的有三种：麦胚、Krebs II 腹水癌细胞提取物、以及 RRL\* 体系。其中 RRL 体系几经改革、逐渐完善，与前两者比较，更显得优越。其特点是结果比较稳定，本底较低，外源 mRNA 的翻译活性高，合成的蛋白质肽链比较完整。

国内目前多采用麦胚体系，尚未见到 RRL 体外翻译体系的有关报道。为此，我们在 Pelham 等<sup>[1]</sup> 体系的基础上，研究了影响该体系翻译的一些主要因素，提高了该体系的翻译活性，并以不同的外源模板检查了该体系对 mRNA 翻译作用的有效性。

## 材料与方法

**一、RRL 的制备** 用盐酸苯肼 10mg/kg 注射 2.5kg 左右家兔，6 天后，网织红细胞达 90% 以上。颈动脉放血后，按 Schimke 等人的方法<sup>[2]</sup> 制备 RRL。

**二、RRL 的 MNA 酶处理** 参照 Pelham 等人的方法<sup>[3]</sup>，取上述 RRL 7.8ml，加入 4mg/ml 肌酸磷酸激酶 0.1ml，1mM 氯化血红素（溶于 90% 乙二醇，20mM Tris-HCl，pH 8.2，50mM KCl 中）0.2 ml，0.2M 磷酸肌酸 0.2ml，2M KCl/10mM MgAc<sub>2</sub> 混合液 0.5ml，1mM 19 种氨基酸（缺 L-亮氨酸）0.5ml，0.1M CaCl<sub>2</sub> 0.1ml，1mg/ml，MNA 酶 0.1ml，混匀后，于 20℃ 保温 10 分钟，立即加入 0.1M EGTA（预先用 0.1M KOH 调成中性）0.2ml。

混匀后分装贮存于液氮中备用。

**三、RRL 体外翻译体系** 反应混合物总体积 50μl：含 MNA 酶处理的 RRL 36μl，肌酸磷酸激酶 28.8μg/ml，磷酸肌酸 7.2mM，氯化血红素 14.4μM，19 种氨基酸 36μM，ATP 1mM，GTP 0.05mM，K<sup>+</sup> 112mM，Mg<sup>++</sup> 1.56mM，Cl<sup>-</sup> 74.5mM，不同浓度的外源 mRNA，<sup>3</sup>H-亮氨酸 2μci，体系最终 pH7.3。测活于 30℃，保温 60 分钟，取样 5μl，加无离子水 1ml，脱色液（1M NaOH，0.5M H<sub>2</sub>O<sub>2</sub>、1mg/ml 亮氨酸）0.5ml，混匀后 37℃ 保温 15 分钟，再加 25% 三氯醋酸 1ml。沉淀液经玻璃纤维滤纸抽滤，用 8% 三氯醋酸及 95% 乙醇各洗二次，干燥后加闪烁液（每升甲苯含 ppo 3g，popop 0.3g）5ml，于 Beckman-Ls 8000 型液体闪烁计数器计数。

**四、RR-TRNA、RR-mRNA、HR-mRNA 等制备** 均参照 Cann 等人的方法<sup>[3]</sup>。 RL-mRNA、HL-mRNA 参照上海生化所方法<sup>[4]</sup> 制备。RR-TRNA 样品测活前以 3M NaAc(pH6.0) 洗三次，70% 乙醇洗二次，mRNA 只经 70% 乙醇洗二次，真空干燥后溶于无菌水，贮于液氮中备用。RNA 按 TA<sub>260</sub> 单位 = 50μg 计算。

**五、麦胚体外翻译体系** RR-TRNA、RR-mRNA、HR-mRNA 采用 pH7.6 体系<sup>[5]</sup> 测活，RL-mRNA、HL-mRNA 采用 pH7.2 体系<sup>[6]</sup>，

\* 本文采用下列简写： RRL：兔网织红细胞溶解物； EGTA：乙二醇二乙醚二氨四乙酸，MNA 酶：微球菌核酸酶，RR-TRNA：兔网织红细胞总 RNA，RR-mRNA：兔珠蛋白信使 RNA，HR-mRNA：人珠蛋白信使 RNA，RL-mRNA：大鼠肝信使 RNA，HL-mRNA：人胚肝信使 RNA。

加入  $65\mu M$  精胺盐酸盐, 测活。 $50\mu l$  反应体积中含  $^3H$ -亮氨酸  $2\mu Ci$ 。

**六、SDS-聚丙烯酰胺凝胶不连续板电泳与荧光显影** 参照 Sala-Trepaut 等人的方法<sup>[7]</sup>, 处理翻译产物, 采用 Laemmli 等人的体系<sup>[8]</sup> 进行 15% 聚丙烯酰胺凝胶不连续板电泳<sup>[9]</sup>。板为  $2.5 \times 90 \times 120\text{mm}$ ; 条件: 恒压 130 伏特, 室温, 5 小时。电泳后将胶切成  $4\text{mm}$  等宽胶片, 以 30%  $\text{H}_2\text{O}_2$   $0.5\text{ml}$  溶解 ( $37^\circ\text{C}$  过夜) 加  $5\text{ml}$  均相闪烁液 ( $4\text{g ppo}$ ,  $0.3\text{g popop}$ ,  $100\text{g 萘加二甲基亚砜至 }1000\text{ml}$ ) 计数。荧光显影时, 胶用 ppo-二甲基亚砜处理<sup>[9]</sup> 后, 用 X 线感光胶片于液氮中显影 14 天。

主要材料: 人网织红细胞系新生儿 ABO 血型不配溶血后换血所得, 网织占 7% 左右。MNA 酶: Millpore 产品, 比活性 9875 单位/ $\text{mg}$ 。EGTA: 三级纯, 北京化工厂产品。氯化血红素: 本实验室制备。 $^3H$ -亮氨酸: 比度  $57\text{Ci/mole}$ , 上海原子核研究所产品。玻璃纤维滤纸: 49 号, 上海红光造纸厂产品。X 线感光胶片: 广东汕头感光化学厂产品。

## 结果与讨论

### 一、影响 RRL 体系的一些因素

1. EGTA 浓度对翻译活力的影响 在制备 RRL 过程中加入 MNA 酶消化内源 mRNA, 可以降低本底。此酶需  $\text{Ca}^{++}$  激活,  $1\text{mM CaCl}_2$  足以激活  $10\mu g/\text{ml}$  的 MNA 酶。加 EGTA 的目的是络合  $\text{Ca}^{++}$ , 从而终止酶的

作用。从表 1 可见: (1) 如不加 EGTA 或加 EGTA 不足时, 酶将在测活保温过程中继续水解外源 RNA, 同时过量的  $\text{Ca}^{++}$  也影响蛋白的合成, 因而降低了外源模板的翻译活性; (2)  $2\text{mM EGTA}$  足以络合  $1\text{mM Ca}^{++}$ , 且使翻译活性显著提高; (3) EGTA 过量至  $4\text{mM}$  时, 不影响其翻译活性。

2. MNA 酶的浓度及其作用时间 当酶浓度从 0 增至  $10\mu g/\text{ml}$  时, 内源掺入逐渐降低, 至  $10\mu g/\text{ml}$  时仅为未经 MNA 酶处理的 1.6%, 外源 mRNA 掺入虽也有小幅度减低, 但此时外源模板对内源掺入的倍数最高。

处理 RRL 时, 加酶  $10\mu g/\text{ml}$ , 对不同的保温时间的掺入活性作了比较, 结果以 10—14 分钟较合适, 时间过少或过长都使掺入倍数降低。

3. 氯化血红素的最适浓度 适当浓度可以明显增加 RRL 体系的翻译活性。本实验结果, 氯化血红素浓度在  $10$ — $40\mu M$  范围内掺入活性较高, 超过  $40\mu M$  反而起抑制作用。加入  $15\mu M$  氯化血红素时的掺入活性, 比不加入增加了 2 倍多。

4.  $\text{K}^+$ 、 $\text{Mg}^{++}$  浓度的影响 图 1 是以 RR-TRNA 为外源模板得到的  $\text{K}^+$ 、 $\text{Mg}^{++}$  最适浓度曲线。两者的最适浓度范围均较宽, 当  $\text{K}^+$  浓度在  $72$ — $142\text{ mM}$ ,  $\text{Mg}^{++}$  浓度在  $1.16$ — $1.76\text{mM}$  区间, 得到稳定的高掺入活性。

文献报道, 在 RRL 体系中, 不同的外源模板所要求的  $\text{K}^+$ 、 $\text{Mg}^{++}$  最适浓度可能是不一

表 1 EGTA 浓度对 RRL 体系翻译活性的影响

CaCl <sub>2</sub> 浓度 (mM)		1	1	1	1
EGTA 浓度 (mM)		0	1	2	4
<sup>3</sup> H 亮 氨 酸 掺 入	空 白	cpm $\times 10^{-3}/50\mu l$	1.64	1.84	2.19
	RR-TRNA $4\mu g$	cpm $\times 10^{-3}/50\mu l$	9.05	17.77	33.87
	RR-mRNA $0.15\mu g$	倍 数	5.5	9.7	15.5
		cpm $\times 10^{-3}/50\mu l$	12.1	17.08	41.4
		倍 数	7.4	9.3	18.8

制备 RRL 过程中, 加入  $1\text{mM CaCl}_2$ ,  $10\mu g/\text{ml}$  MNA 酶,  $20^\circ\text{C}$  保温 10 分钟后, 加不同浓度的 EGTA, 对 RRL 本底及外源模板活力的影响。

样的。本实验将 RR-mRNA 于肌球蛋白 mRNA 翻译最适的  $K^+$ 、 $Mg^{++}$  浓度<sup>[10]</sup>中进行翻译，只得到极低的掺入活性。

5. ATP、GTP 的影响 本实验比较了四种不同浓度的 ATP、GTP 对翻译活性的影响(表 2)。结果表明加入 1mM ATP, 0.05mM GTP 时，外源模板的翻译活性最高，约为不加 ATP、GTP 的 2.5 倍。但对内源掺入无影响。

6. 测定活性的保温时间 本体系于 30℃ 保温，外源模板的翻译活性在 0—10 分钟内上

升很快，10 分钟时的掺入已达到 60 分钟时的一半。60 分钟以后达到坪高线，说明合成的蛋白不再水解，可能体系中含的蛋白水解酶极少。

7. 本 RRL 体系与 Pelham 等人 RRL 体系<sup>[1]</sup>反应条件及翻译活力比较 由表 3 可以看出本体系在反应条件上有如下主要改动： $K^+$ 、 $Mg^{++}$ 浓度较高，是珠蛋白 mRNA 翻译的最适浓度；加入了适宜浓度的 ATP、GTP，保证了体系的能量供给（比不加的提高了珠蛋白 mRNA 翻译活性约 2.5 倍）；降低了 RRL 在反

表 2 不同浓度 ATP、GTP 对翻译活性的影响

ATP、GTP 浓度 (mM)		ATP 0 GTP 0	ATP 0.5 GTP 0.025	ATP 1 GTP 0.05	ATP 1.5 GTP 0.075
<sup>3</sup> H 亮氨酸掺入 cpm × 10 <sup>-3</sup> /50μl	空 白	2	2.1	2	2.2
	RR-tRNA 5μg	14.8	26.8	40.4	33.2
	RR-mRNA 0.15μg	21.5	35.1	50.8	46

表 3 本实验 RRL 体外翻译体系与 Pelham 体系反应条件及翻译活力比较

反 应 体 系		Pelham 体系	本实验体系
反 应 条 件	$K^+$ 浓度	84mM	112mM
	$Mg^{++}$ 浓度	0.42mM	1.56mM
	$Cl^-$ 浓度	84mM	74.5mM
	氯化血红素	16.8μM	14.4μM
	肌酸磷酸激酶	33.6μg/ml	28.8μg/ml
	磷酸肌酸	8.4mM	7.2mM
	ATP 浓度	0	1mM
	TPG 浓度	0	0.05mM
	<sup>3</sup> H- 亮氨酸含量	0.83μCi/50μl	2μCi/50μl
	RRL 含量	42.5μl/50μl	36μl/50μl
翻 译 活 力	内源掺入 cpm × 10 <sup>-3</sup> /50μl	未经 MNA 酶处理	10.7**(100%)
		经 MNA 酶处理	0.5**(4.1%)
	外源掺入 cpm × 10 <sup>-3</sup> /50μl	未经 MNA 酶处理	10.65**(100%)
		经 MNA 酶处理	7.9**(74%)
	比活性 (兔珠蛋白 mRNA) cpm × 10 <sup>-3</sup> /μg	4.5	185.7
	翻译倍数 (兔珠蛋白 mRNA 1.65μg)	15.8	53.3

\* 为 RR-tRNA 20μg/50μl 测定的结果。

\*\* Pelham 体系为 RR-mRNA 1.65μg/50μl，保温 40 分钟所测定结果。

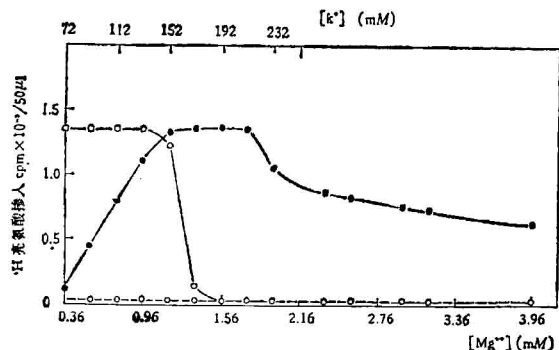


图 1 K<sup>+</sup>、Mg<sup>++</sup> 浓度对翻译活性的影响

- : K<sup>+</sup> 浓度曲线。RR-tRNA 20 μg, Mg<sup>++</sup> 浓度为 1.56 mM。
- : Mg<sup>++</sup> 浓度曲线。RR-tRNA 20 μg, K<sup>+</sup> 浓度为 112 mM。
- : RRL 内源掺入。

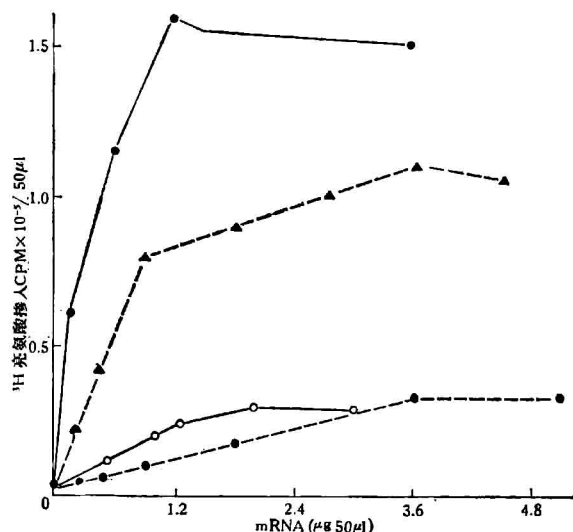


图 2 四种 mRNA 在 RRL 体系中的翻译活性与其浓度的依赖关系

- : RR-mRNA 翻译活性曲线,
- ▲—▲: HR-mRNA 翻译活性曲线;
- : RL-mRNA 翻译活性曲线,
- : RL-mRNA 翻译活性曲线。

表 4 四种 mRNA 在 RRL 与麦胚体系中掺入倍数及比放射活性的比较

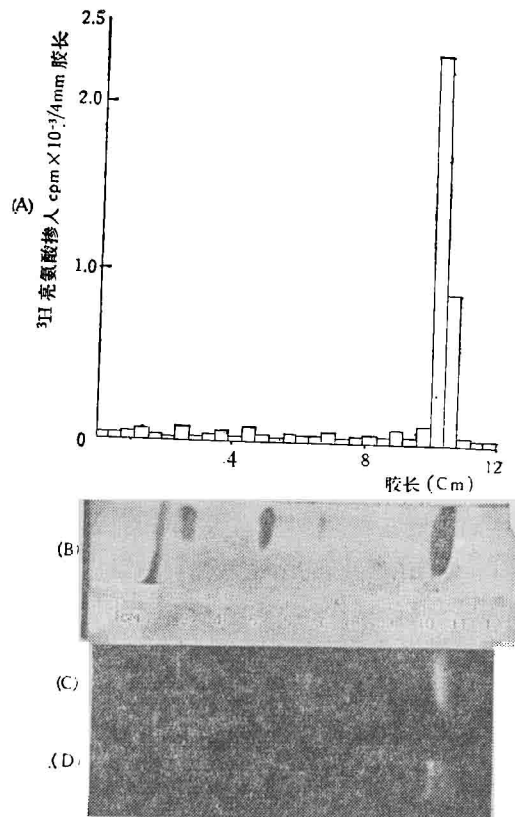


图 3 RR-mRNA 翻译产物的鉴定

A 为 RR-mRNA 在 RRL 体系中的翻译产物, 经 SDS 聚丙烯酰胺凝胶不连续板电泳后, 切胶计数放射峰。

B 为标准蛋白的 SDS-聚丙烯酰胺凝胶不连续板电泳。

C 为 RR-mRNA 在 RRL 体系中翻译产物电泳后放射自显影。

D 为 RR-mRNA 在麦胚体系中翻译产物电泳后放射自显影。

应混合物中的含量(由 85% 减至 72%)。由翻译活力的比较来看: 本体系经 MNA 酶处理后, 内源去掉 98.4%; 对外源掺入的影响, Pelham 体系降低 26%, 本体系为 33%。以同样浓度的兔珠蛋白 mRNA 掺入量比较, 本体系掺入的比放射活性及掺入倍数均较 Pelham 体

mRNA 种类	RRL 体系	HR-mRNA	RL-mRNA	HL-mRNA
最高翻译倍数	53.3	30.6	11.7	10.8
	25	21.3	6.2	12.4
比放射活性 cpm × 10 <sup>-3</sup> /50μl	185.7	81	29.8	10
	60	25.1	21.3	8.4

系有显著的提高。

## 二、几种 mRNA 在 RRL 体系中的翻译作用

1. 几种 mRNA 的翻译活性 RR-mRNA、HR-mRNA、RL-mRNA, HL-mRNA 在 RRL 体系中的掺入活性如图 2 所示, 它们均在一定的浓度范围内与其浓度呈直线关系, 而后达到饱和状态。本实验还比较了上述四种 mRNA 在 RRL 与麦胚两种体外翻译体系中翻译的比放射活性以及最高掺入倍数(表 4)。可以看到 RRL 体系对珠蛋白 mRNA (人或兔) 的翻译活力比麦胚体系高 3 倍以上。而肝 mRNA (人或大鼠) 则与麦胚相近, 这可能是由于肝 mRNA 在 RRL 体系中翻译的最适条件与珠蛋白 mRNA 不同。

2. 翻译产物的鉴定 RR-mRNA 在 RRL 体系中翻译产物经 SDS-聚丙烯酰胺凝胶不连续板电泳分离, 切胶计数的结果见图 3A。RR-mRNA 的翻译产物在 10.0—10.8cm 处放射性最高, 此区域相当于电泳板上标准珠蛋白区带。

RR-mRNA 在 RRL 体系中的翻译产物经电泳分离后, 又经荧光显影 (RRL 内源掺入在这部分的计数为 153cpm, 未能显影), 结果见

图 3C, 表明表达出完整的珠蛋白。而 RR-mRNA 在麦胚体系中的翻译产物, 虽然也能显出珠蛋白区带 (图 3D), 但其前方还有二条较淡区带, 可能是珠蛋白 mRNA 在麦胚体系中翻译不完整的肽片段。这说明 RRL 体系较麦胚体系翻译的蛋白质肽链完整。

本文所用微球菌核酸酶系美国康奈尔大学吴瑞教授赠给, 本组沈岩同志协助部分技术工作, 一并致谢。

## 参 考 文 献

- [1] Pelham, H. R. B. et al.: *Eur. J. Biochem.*, **67**, 247, 1976.
- [2] Schimke, R. T. et al.: *Methods in Enzymol.*, **30F**, 694, 1974.
- [3] Cann, A. et al.: *J. Biol. Chem.*, **249**, 7536, 1974.
- [4] 中国科学院上海生物化学研究所四室肿瘤组: «生物化学与生物物理进展», 1979 年, 第 2 卷, 第 40 页。
- [5] Chu, M. L. et al.: *Biochem.*, **17**, 5128, 1978.
- [6] Tse, T. P. H. et al.: *J. Biol. Chem.*, **252**, 1272, 1977.
- [7] Sala-Trepant, J. M. et al.: *Biochim. Biophys. Acta*, **519**, 173, 1978.
- [8] Laemmli, U. K.: *Nature*, **227**, 680, 1970.
- [9] Bonner, W. M. et al.: *Eur. J. Biochem.*, **46**, 83, 1974.
- [10] Benoff, S. et al.: *Biochem.*, **18**, 494, 1979,

[本文于 1981 年 9 月 25 日收到]

## 科 技 消 息

### 我国正常人血浆环核苷酸的含量

叶淑金 李忆梅 杨宝华

(北京友谊医院 北京市临床医学研究所)

cAMP、cGMP 是调节细胞功能的重要环核苷酸, 与神经、内分泌及免疫系统的功能密切相关。一些重要疾病, 如肿瘤, 急性心肌梗塞、爆发性流脑, 慢性肾炎等常伴有体液或组织液中 cAMP、cGMP 含量的变化。这项指标, 已开始广泛地应用于临床。

我们应用放射免疫测定法测定人血浆中 cAMP 和 cGMP 的含量。其特点是: 1) 用氟标记作示踪剂, 以乙酰化步骤处理标记与非标记的 cAMP, cGMP。2) 血浆以酸化酒精去蛋白。3) 用微孔滤膜分离结合与游离部分。以液体闪烁法作固相放射性测量。

cAMP 样品回收率为  $89.33 \pm 3.7\%$ ; cGMP 样品回收率为  $96.22 \pm 2.5\%$ 。结果见表。

表 人血浆中 cAMP、cGMP 正常值 Pmol/ml

		儿 童	$23.21 \pm 1.02$	n = 36
cAMP	$23.22 \pm 0.51$ n = 95	献 血 员 (工人、农民)	$23.20 \pm 0.72$	n = 36
		医 务 人 员	$23.26 \pm 0.87$	n = 23
cGMP	$5.90 \pm 0.19$	农 民、工 人、干 部、医 务 人 员		n = 120

[本文于 1982 年 2 月 8 日收到]